

Caracterización del perfil lipídico de macroalgas del archipiélago de Madeira.

Contenidos de ω3 LC-PUFA.

I. Rodríguez^{1*}, J.A. Pérez¹, N. Nunes^{2,3}, D.B. Reis¹, M.A.A Pinheiro de Carvalho^{2,4}, A. Galindo¹, N. G. Acosta¹, C. Rodriguez¹.

¹Departamento de Biología Animal, Edafología y Geología, Universidad de La Laguna, Santa Cruz de Tenerife, España.

²ISOPlexis Genebank, University of Madeira, Campus da Penteada, 9050-290 Funchal, Madeira, Portugal.

³UBQ II, Unidade de Bioquímica, Lda, Rua Visconde de Anadia, Edifício Anadia 5º Andar CC, 9050-020 Funchal, Madeira, Portugal.

⁴ICAAM, University of Évora, Apartado 94, 7006-554, Évora, Portugal.

*inesrodriguezrs20@gmail.com

Introducción

Las algas desempeñan un papel ecológico muy importante como productores primarios de los ecosistemas. Además, son aprovechadas por el hombre como alimento, forraje, fertilizante, fuente de minerales, vitaminas y sales, por sus compuestos bioactivos y ficoloides. Todo ello, ha impulsado su cultivo en muchos países costeros. En el contexto del proyecto MACBIOBLUE (<http://macbioblue.com/>), el presente trabajo estudia el interés de las macroalgas de la Macaronesia como un recurso en la nutrición de peces y humana, o por su interés farmacológico, agrario etc, de forma ecológicamente viable y económicamente rentable. Se analizó por ello, el perfil lipídico (contenido graso, clases lipídicas y ácidos grasos) de 14 especies de macroalgas representativas de las costas del Archipiélago de Madeira, haciendo particular referencia a sus contenidos de ácidos grasos polinsaturados ω3 de cadena larga (ω3 LC-PUFA).

Material y Métodos

- **Muestra:** 14 especies de macroalgas marinas diferentes.
- **Localización:** Playas diversas de **Madeira** (10m max. profundidad).
- **Tratamiento:** Liofilizadas a presión reducida (4×10^{-4} mbar) y molidas hasta 200 μ.
- **Mantenimiento:** Envasadas al vacío y almacenadas a -35°C



Análisis lipídico

- Contenido de lípido total
- Perfil de ácidos grasos y clases lipídicas (Díaz-López et al, 2010)

Análisis estadístico

- ANOVA de una vía ($p < 0,05$)

Resultados y Discusión

Tabla 1. Contenido de lípido total y perfil de ácidos grasos (% total) de las 14 algas de estudio.

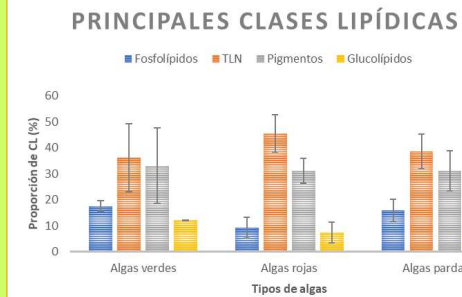
Alga	%Lipídico	C16:0	C18:1n9	C18:2n6	C18:3n3	C20:4n6	C20:5n3	C22:6n3	
Chlorophyta	Dasycladus vermicularis	0,5 ± 0,3	16,8 ± 2,3	18,1 ± 1,6	12,9 ± 2,1	0,6 ± 0,1	0,5 ± 0,4	1,1 ± 0,3	n.d.
	Ulva sp	0,9 ± 0,1	36,9 ± 0,1	8,5 ± 0,6	8,2 ± 0,2	6,5 ± 0,1	1,4 ± 0,1	1,2 ± 0,1	0,8 ± 0,5
Rhodophyta	Corallina officinalis	1,0 ± 0,4	31,3 ± 1,5	14,9 ± 0,9	4,3 ± 0,9	0,8 ± 0,3	4,5 ± 0,7	2,9 ± 0,6	1,3 ± 0,2
	Halophytis incurva	1,3 ± 0,3	30,2 ± 1,8	7,9 ± 0,7	1,9 ± 0,2	7,6 ± 3,1	9,0 ± 2,6	10,2 ± 1,8	0,5 ± 0,3
Phaeophyceae	Asparagopsis taxiformis	2,0 ± 0,7	39,0 ± 9,8	13,0 ± 4,5	3,3 ± 1,8	0,8 ± 0,2	0,5 ± 0,1	1,3 ± 1,0	3,5 ± 3,4
	Sargassum vulgare	2,0 ± 0,8	29,8 ± 0,5	19,7 ± 0,2	11,3 ± 0,5	4,6 ± 0,1	6,2 ± 0,0	2,3 ± 0,1	0,3 ± 0,3
Phaeophyceae	Dictyota dichotoma	5,2 ± 0,2	18,8 ± 0,7	18,5 ± 0,2	2,4 ± 0,1	3,2 ± 0,1	6,1 ± 0,2	4,6 ± 0,1	0,2 ± 0,3
	Halopteris filicina	1,0 ± 0,2	31,0 ± 1,6	14,1 ± 1,1	6,5 ± 0,1	2,9 ± 0,4	2,8 ± 0,4	3,4 ± 0,2	2,0 ± 1,7
Phaeophyceae	Lobophora variegata	1,2 ± 0,1	27,8 ± 0,1	18,9 ± 0,2	4,0 ± 0,1	1,5 ± 0,1	4,2 ± 0,3	3,2 ± 0,2	0,2 ± 0,3
	Halopteris scoparia	1,2 ± 0,4	34,3 ± 1,5	13,5 ± 0,3	8,7 ± 1,1	2,0 ± 0,2	1,9 ± 0,2	1,6 ± 0,4	0,3 ± 0,5
Phaeophyceae	Padina pavonica	0,8 ± 0,0	33,2 ± 0,9	19,7 ± 0,1	3,7 ± 0,5	2,3 ± 0,2	2,0 ± 0,2	1,0 ± 0,1	n.d.
	Cystoseira compressa	1,8 ± 0,1	29,9 ± 2,2	17,5 ± 1,8	5,5 ± 0,8	2,3 ± 0,1	2,6 ± 0,7	2,1 ± 0,1	3,7 ± 0,5
Phaeophyceae	Cystoseira usneoides	0,8 ± 0,0	31,1 ± 1,0	19,5 ± 1,0	7,1 ± 0,8	3,2 ± 0,1	6,8 ± 0,5	3,1 ± 0,4	0,3 ± 0,3
	Cystoseira humilis	2,9 ± 0,4	31,7 ± 0,8	19,3 ± 1,0	7,2 ± 0,5	5,6 ± 0,1	7,0 ± 0,2	2,0 ± 0,1	0,1 ± 0,2

Las algas Pardas y Rojas presentan una mayor cantidad de lípido, destacando *D. dichotoma*. Es de relevancia la elevada cantidad de palmitico (16:0) y oleico (C18:1n-9) en todas las algas. El alga con mayor cantidad de ω-3: 18:3n3 y EPA (20:5n3) es *H. incurva*, que también destaca por su mayor contenido de ARA (20:4n-6). En relación al DHA (C22:6n3) destaca *C. compressa*.

Tabla 2. Composición de las principales clases lipídicas (% total) de las 14 algas de estudio.

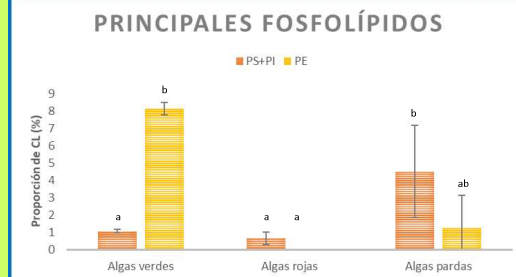
Alga	PC	PS+PI	PE	DGDG	MGDG	PG	CHO	
Chlorophyta	Dasycladus vermicularis	2,4 ± 0,1	1,0 ± 0,1	8,4 ± 2,0	10,7 ± 1,5	1,3 ± 1,3	43,3 ± 1,7	12,8 ± 3,4
	Ulva sp	1,9 ± 0,3	1,1 ± 0,2	7,8 ± 0,3	9,7 ± 1,5	2,4 ± 0,0	22,8 ± 1,1	8,9 ± 0,3
Rhodophyta	Corallina officinalis	2,7 ± 0,8	0,4 ± 0,8	n.d.	0,7 ± 0,6	6,1 ± 0,9	31,6 ± 3,3	15,0 ± 0,1
	Halophytis incurva	6,5 ± 1,0	0,4 ± 0,0	n.d.	6,3 ± 0,2	5,2 ± 0,3	35,4 ± 1,2	14,9 ± 0,9
Phaeophyceae	Asparagopsis taxiformis	3,7 ± 0,2	1,0 ± 0,0	n.d.	1,9 ± 0,3	1,7 ± 0,5	25,9 ± 4,3	6,6 ± 0,4
	Sargassum vulgare	1,6 ± 0,5	4,8 ± 0,2	n.d.	3,8 ± 0,2	0,1 ± 0,2	23,4 ± 1,7	20,3 ± 1,7
Phaeophyceae	Dictyota dichotoma	1,3 ± 0,5	4,2 ± 0,4	n.d.	3,9 ± 0,3	n.d.	45,8 ± 2,0	19,5 ± 2,4
	Halopteris filicina	2,9 ± 1,1	2,4 ± 0,9	4,3 ± 0,2	4,0 ± 0,7	n.d.	37,3 ± 4,0	19,5 ± 2,4
Phaeophyceae	Lobophora variegata	3,9 ± 2,2	6,3 ± 2,3	4,1 ± 1,2	4,8 ± 1,2	1,2 ± 2,0	34,3 ± 3,5	21,4 ± 3,0
	Halopteris scoparia	2,6 ± 0,6	0,8 ± 0,8	n.d.	5,2 ± 1,0	0,8 ± 1,4	30,7 ± 6,2	15,9 ± 1,2
Phaeophyceae	Padina pavonica	1,5 ± 1,2	5,0 ± 1,5	n.d.	6,5 ± 0,5	0,5 ± 0,9	34,2 ± 2,1	17,4 ± 1,7
	Cystoseira compressa	1,7 ± 0,2	4,3 ± 0,7	n.d.	3,8 ± 0,5	0,5 ± 0,3	23,1 ± 2,4	10,3 ± 0,5
Phaeophyceae	Cystoseira usneoides	0,9 ± 0,8	10,1 ± 3,2	2,7 ± 0,7	6,1 ± 1,4	0,6 ± 1,0	26,9 ± 3,4	27,1 ± 4,4
	Cystoseira humilis	1,0 ± 0,6	2,5 ± 0,5	n.d.	6,2 ± 0,6	n.d.	23,1 ± 0,9	18,2 ± 0,8

Figura 1. Comparación de las principales clases lipídicas entre los grupos de algas.



Fosfolípidos(PC,PS,PI,PE);TLN (Total de Lípidos Neutros)

Figura 2. Comparación de las principales fosfolípidos entre los grupos de algas.



Las algas verdes presentan mayor cantidad de PE, sin embargo las pardas presentan mayor proporción de PS+PI.

Las algas rojas analizadas y algunas pardas no presentan PE, a diferencia de las algas verdes. Se observa la presencia en todos grupos de gran cantidad de pigmentos destacando en algunas especies de verdes y pardas. Además, todas presentan altos valores de CHO. Por último, destaca la presencia de dos glucolípidos DGDG y MGDG, que son galactosídigliceridos encargados de la esterificación de las xantofilas.

Conclusión

Los resultados obtenidos en la caracterización lipídica de las 14 especies de algas, confirman la alta variabilidad en cuanto a contenidos de lípidos, proporciones de clases lipídicas y ácidos grasos. Es particularmente variable el perfil de ácidos grasos polinsaturados de la distintas especies de algas, en función de su condición de alga verde, roja o parda.

Referencias: Barua et al., 1993. Journal of Chromatography, 617, 257-264// Bourgougnon, 2014. Sea Plants. Elsevier Ed. Vol. 71: 561 pp// Díaz-López et al., 2010. Aquaculture Nutrition, 15(5), 500-512.

Proyecto MACBIOBLUE (MAC/1.1.b/086) Programa Interreg MAC 2014–2020, Fondo Europeo de Desarrollo Regional. Proyecto DemoBlueAlgae PROGciencia 2020 (M1420-01-0247-FEDER000002); ARDITI – Regional Agency for the Development of Research Technology and Innovation (M14-20-09-5369-FSE-000001- Doctorate in Business and UBX II, Unidade de Bioquímica (UBX II company). CajaSiete por el contrato predoctoral de A. Galindo; C. Rodríguez es miembro del ITB de Canarias.



MACBIOBLUE
Nuevos Productos y Procesos en el Ámbito de la Bioeconomía Azul de la Macaronesia

MAC 2014-2020
Cooperación Territorial

Interreg
Fondo Europeo de Desarrollo Regional